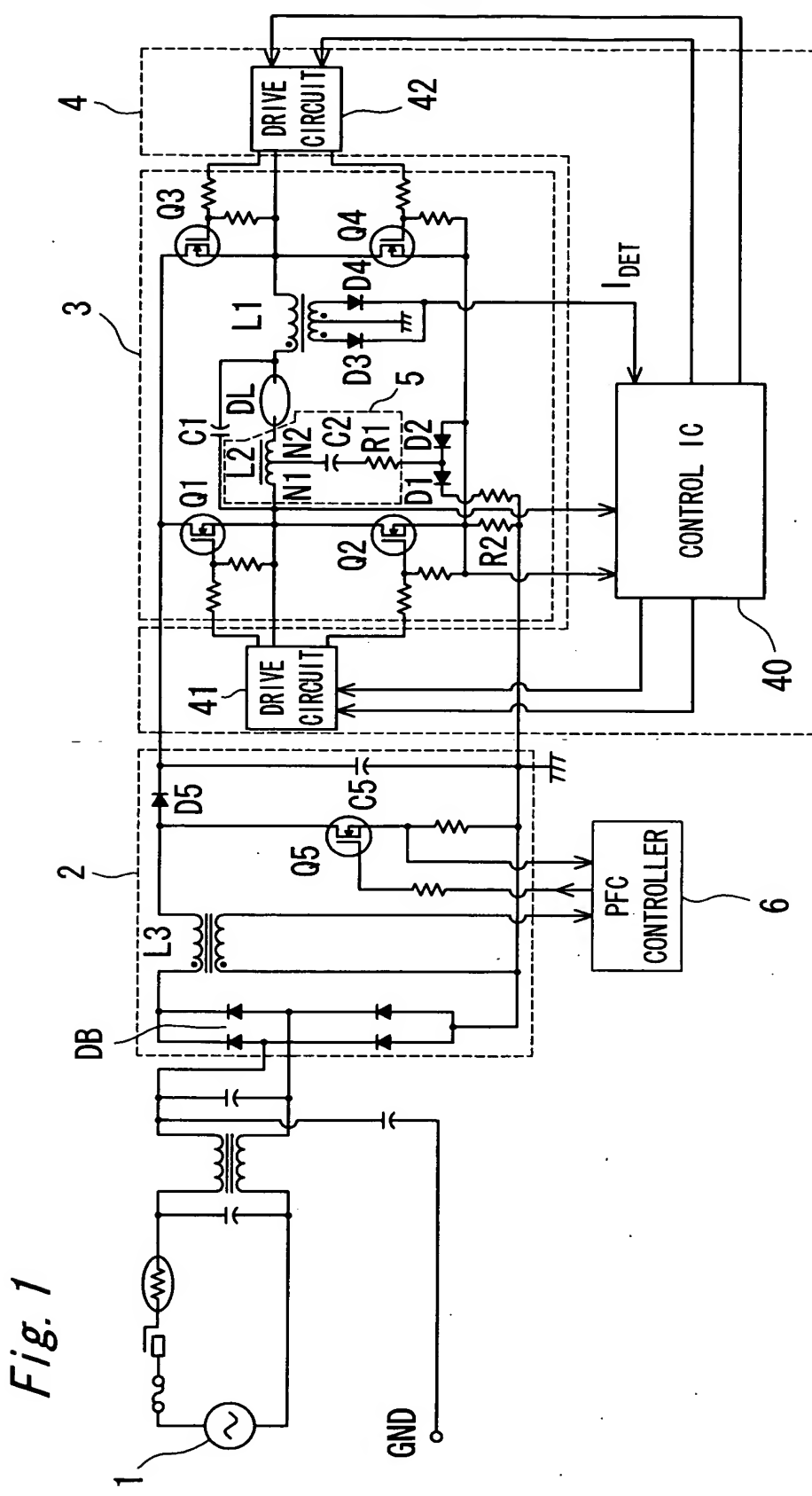
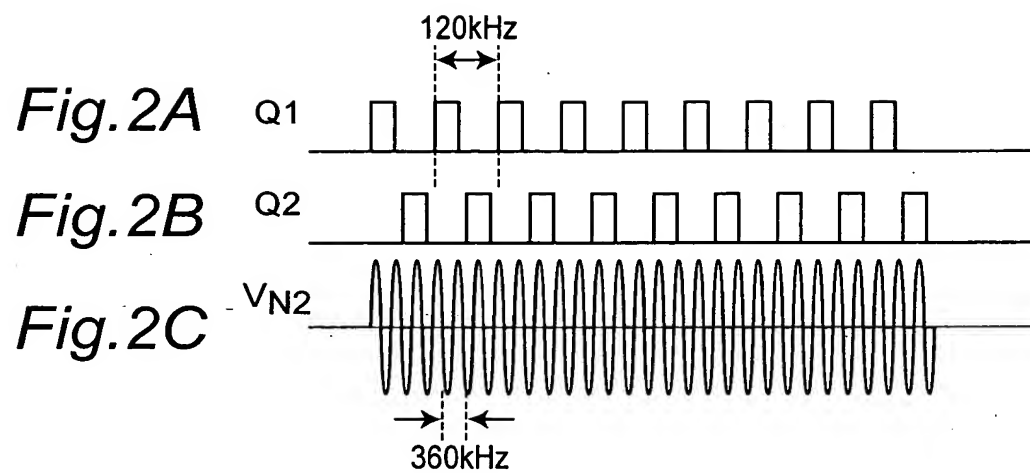
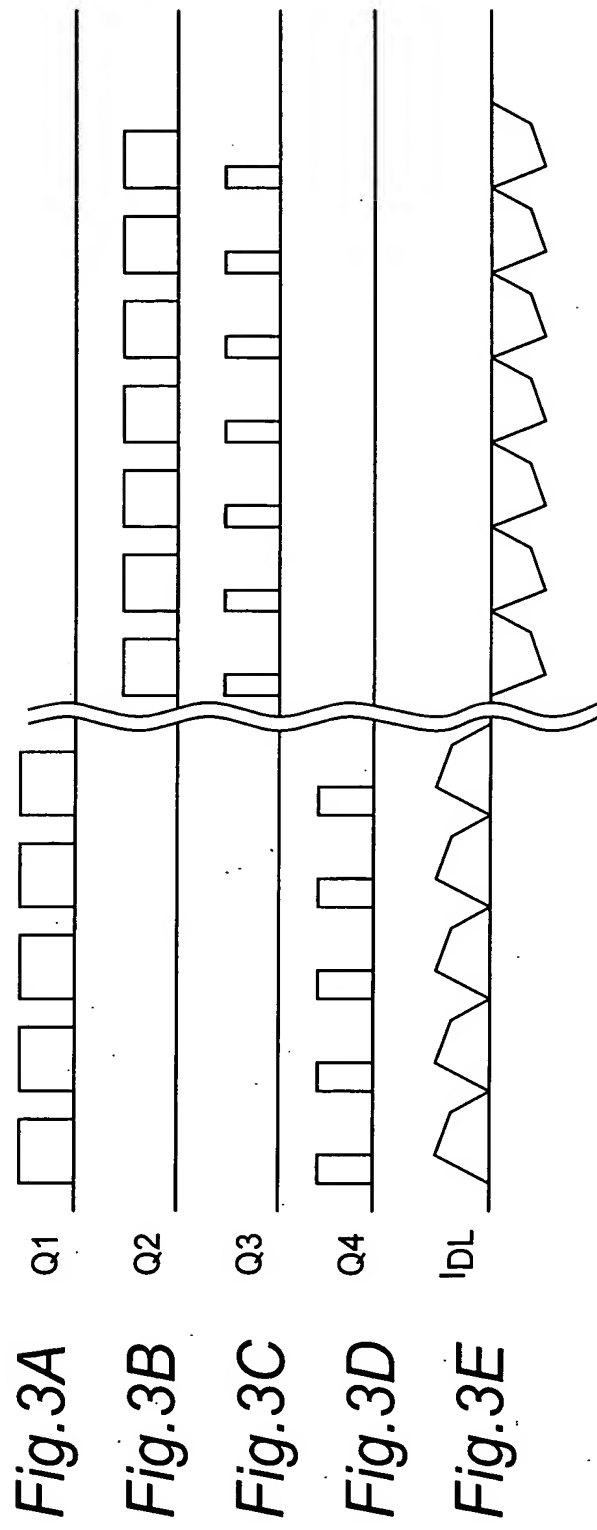
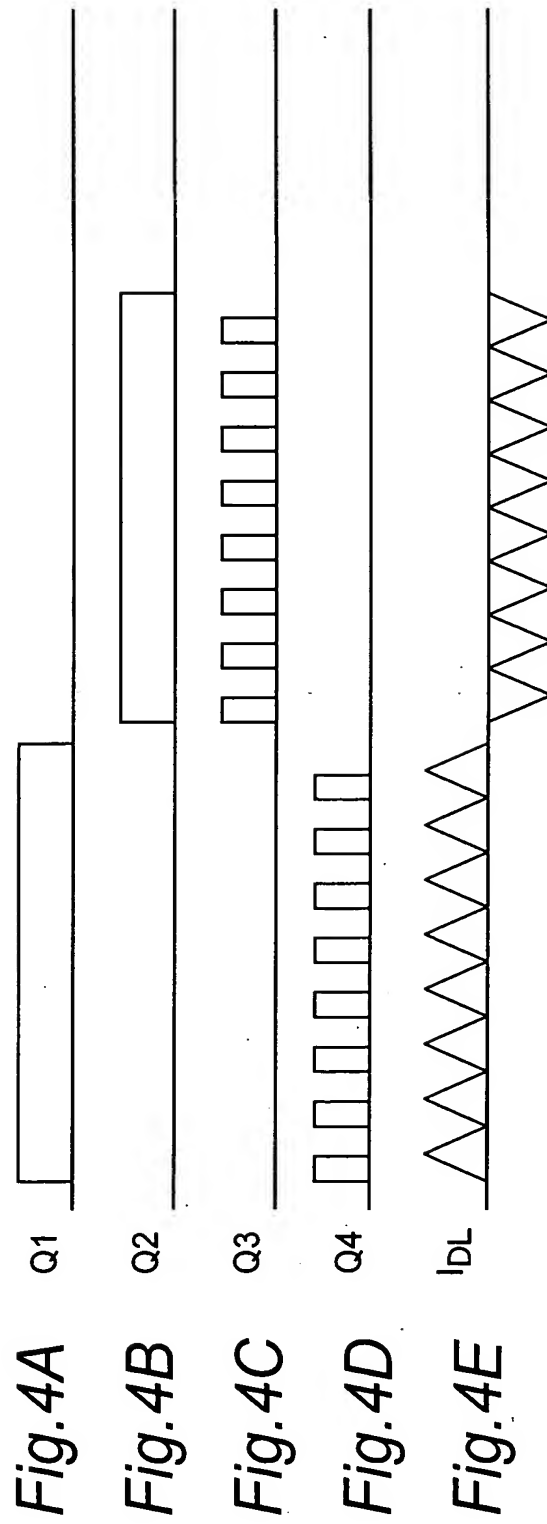


1/26



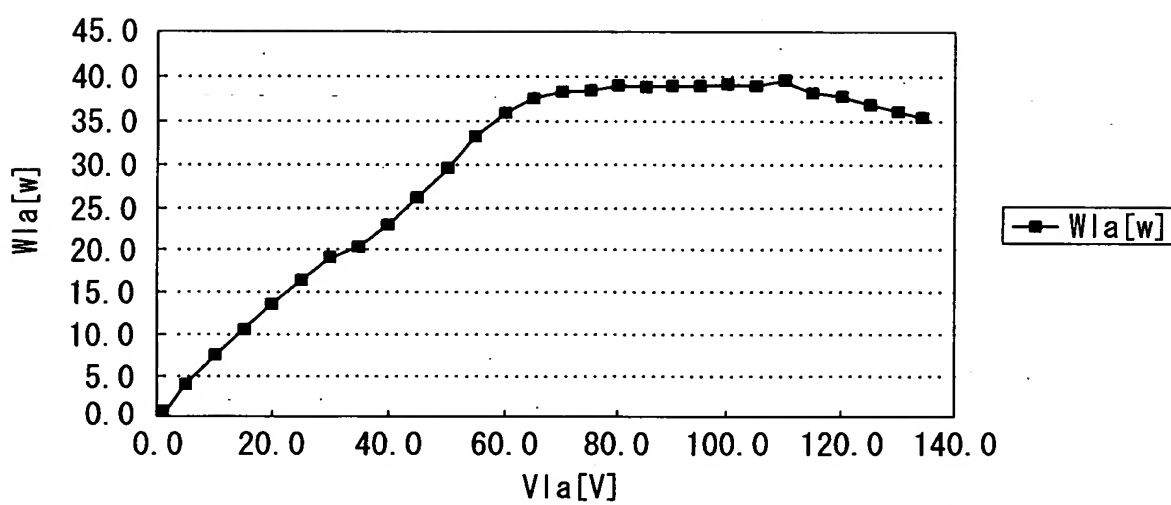


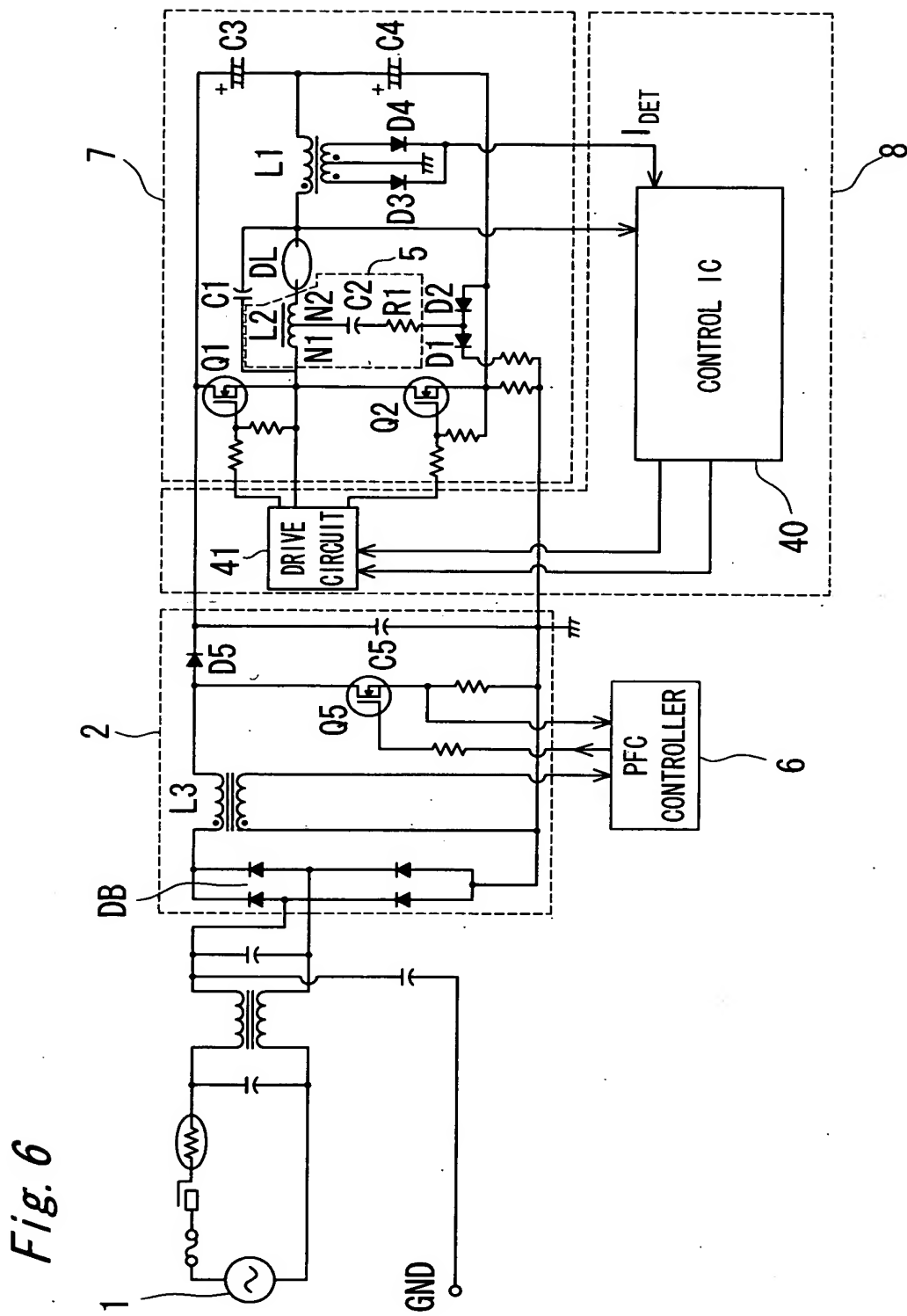


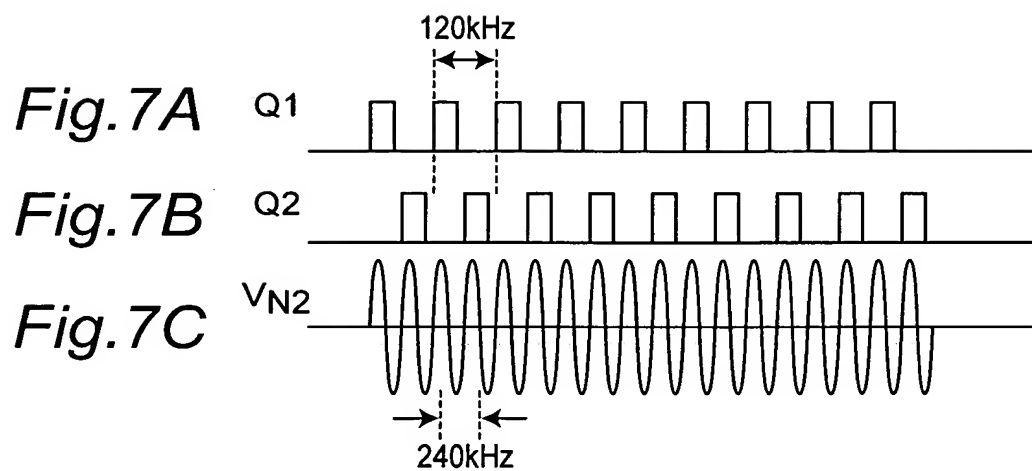


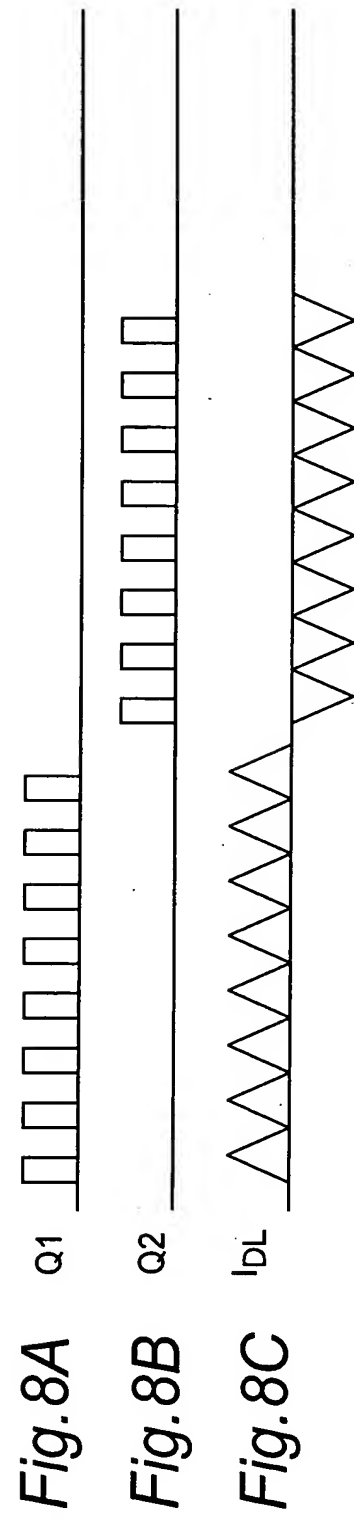
5/26

Fig. 5









9/26

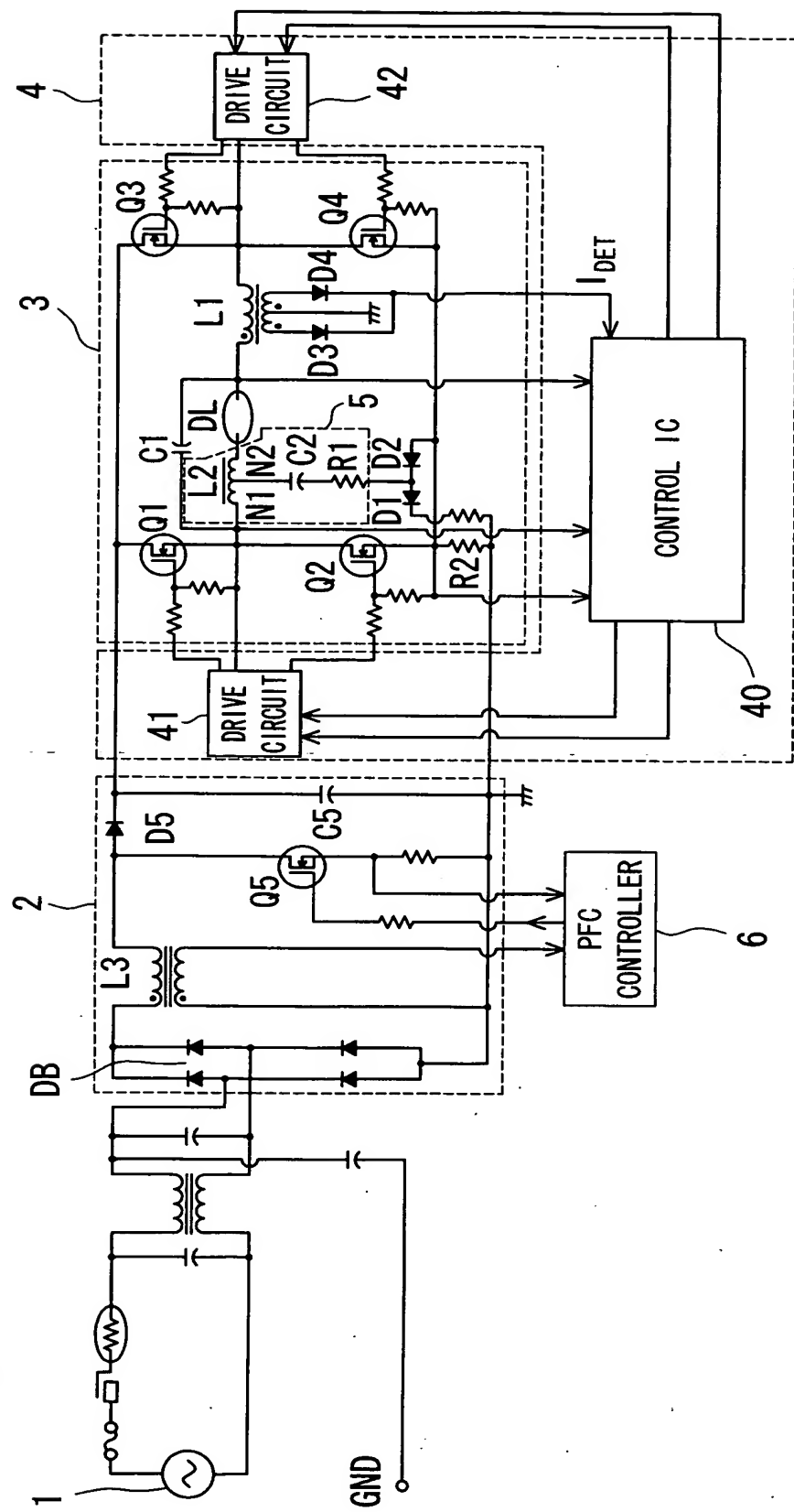
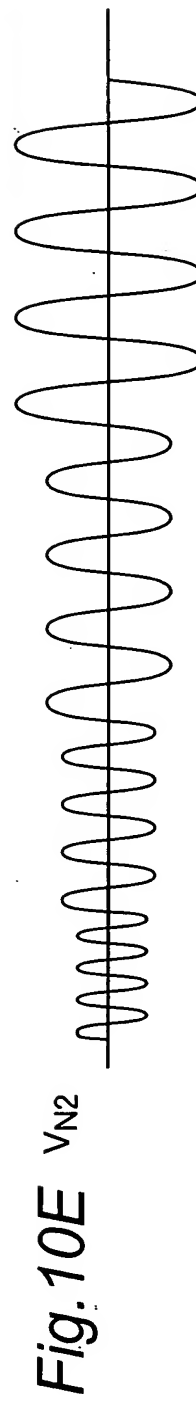
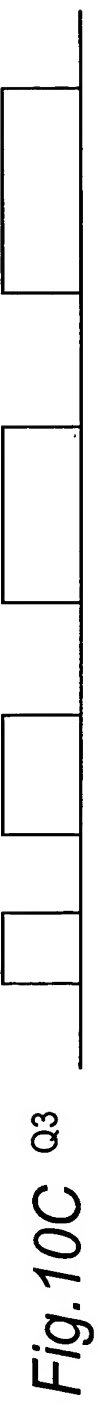
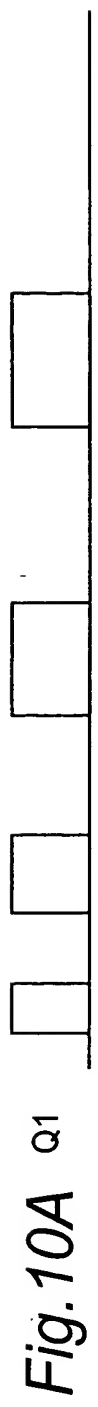
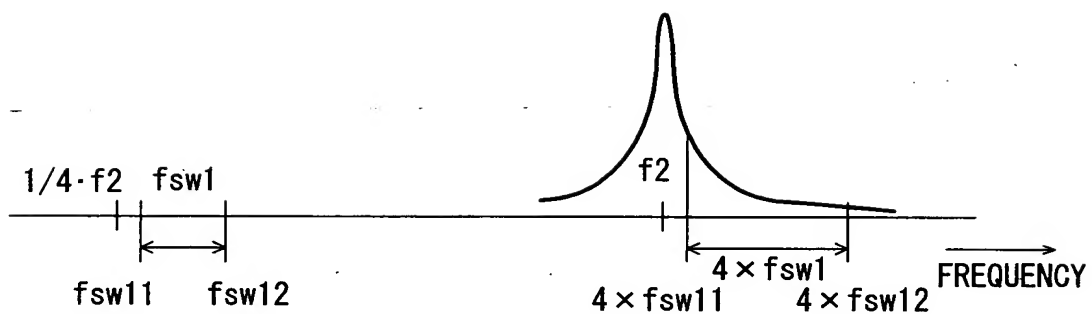


Fig. 9



11/26

Fig. 11



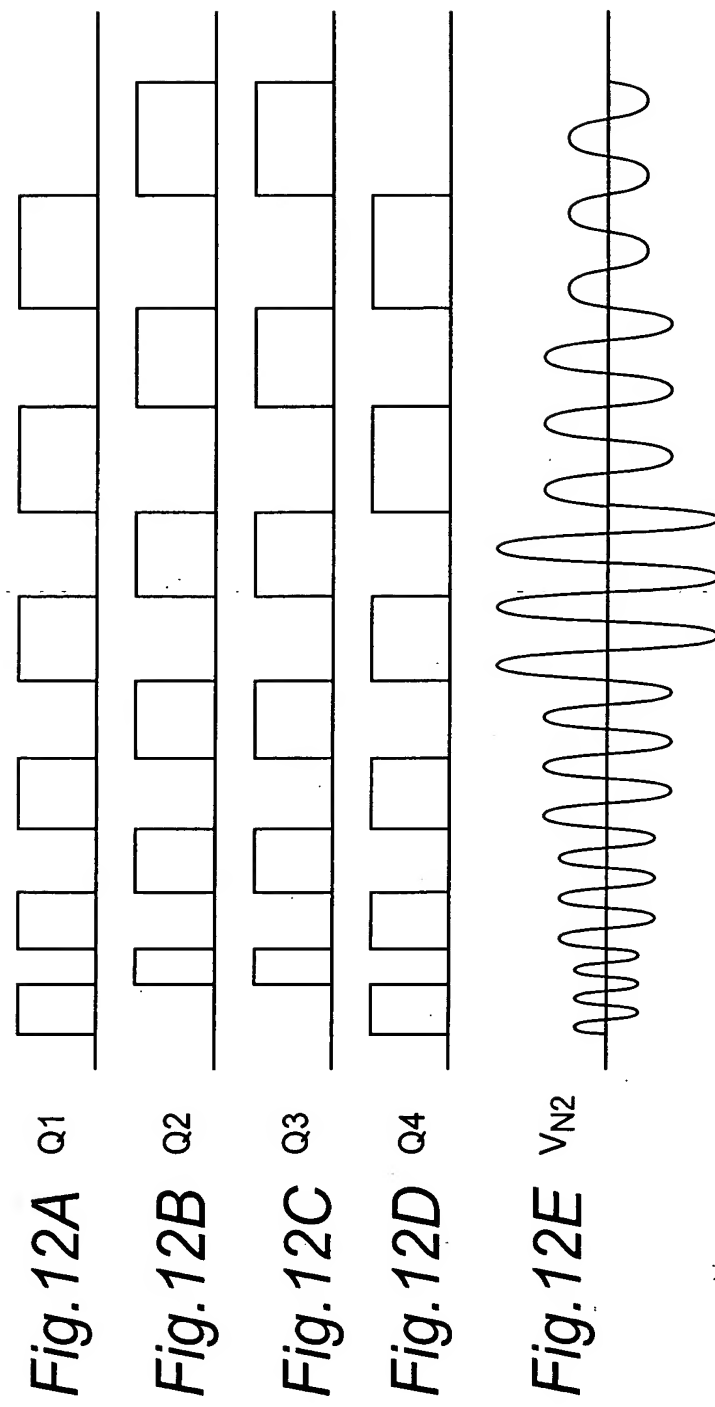
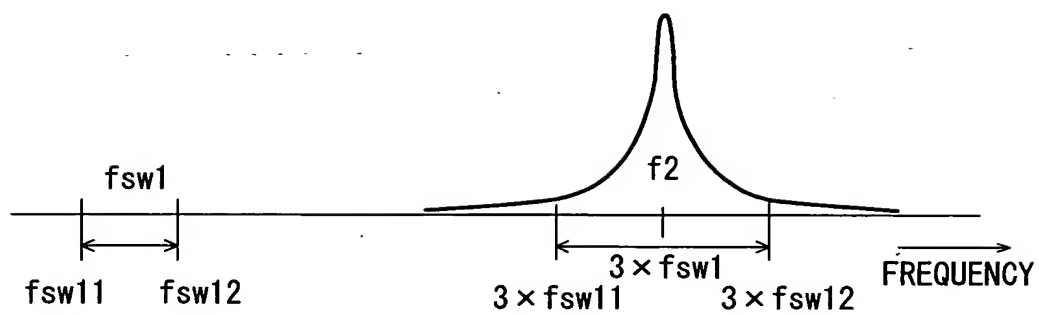
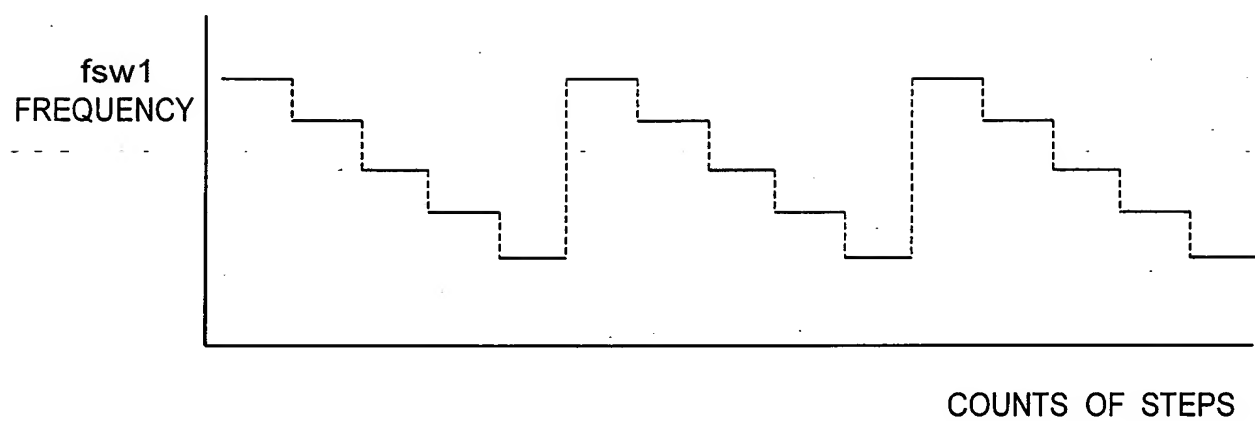


Fig. 13

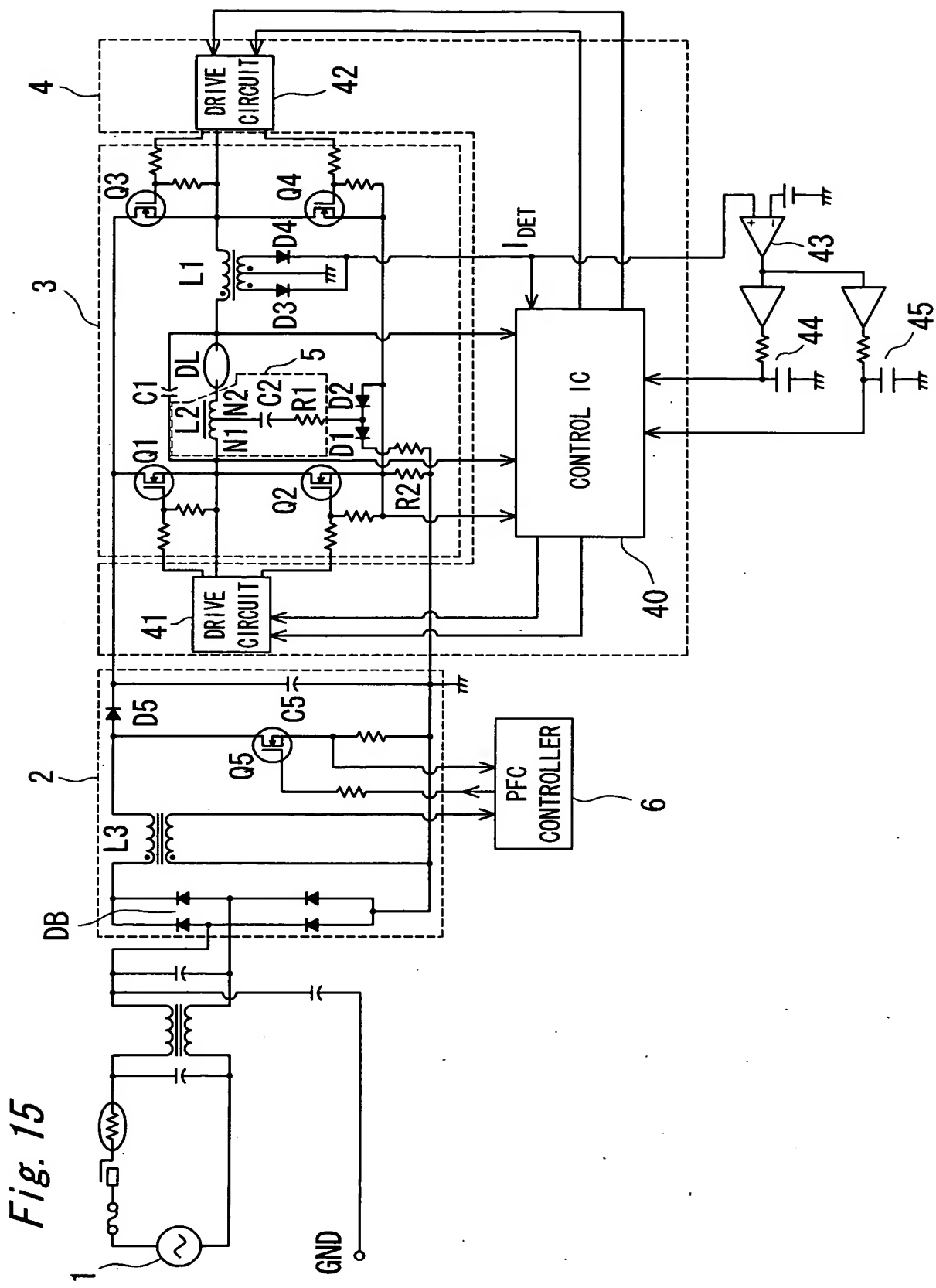


14/26

Fig. 14



15/26



16/26

Fig. 16

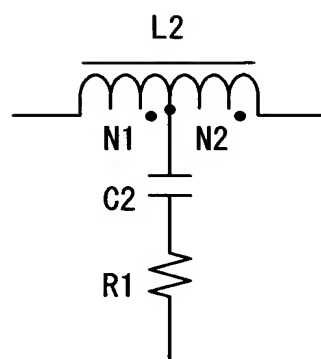


Fig. 17

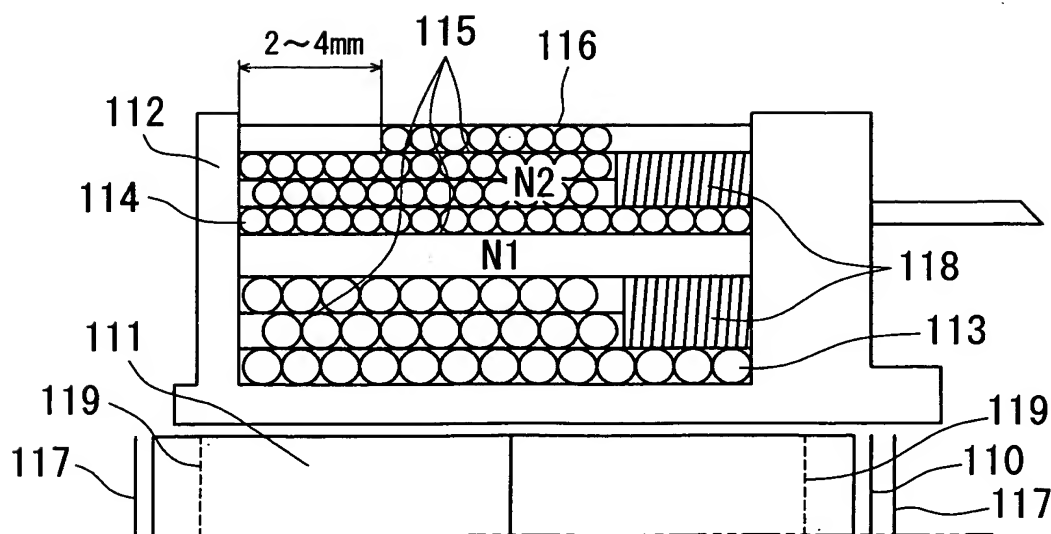


Fig. 18

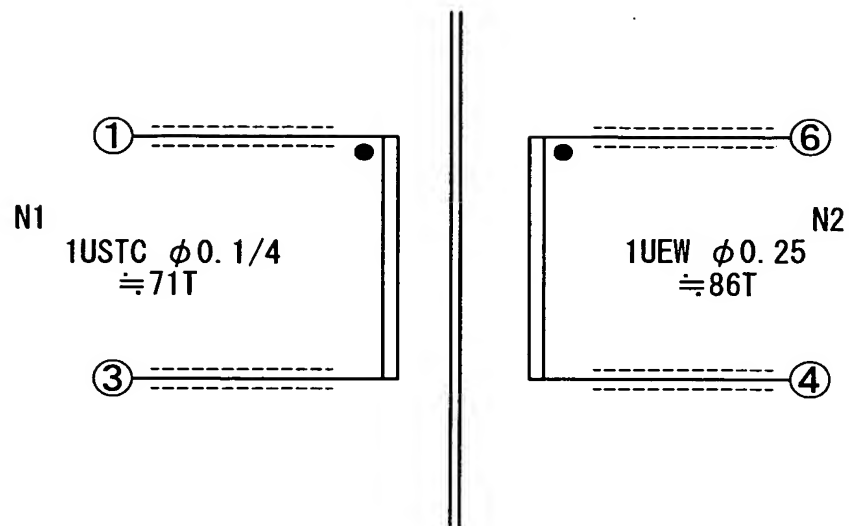
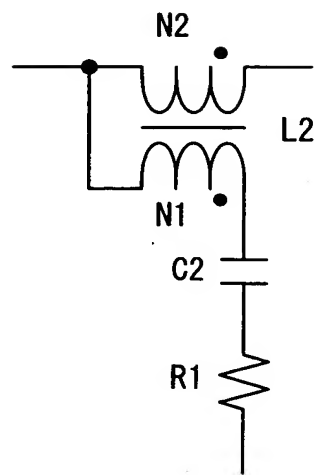
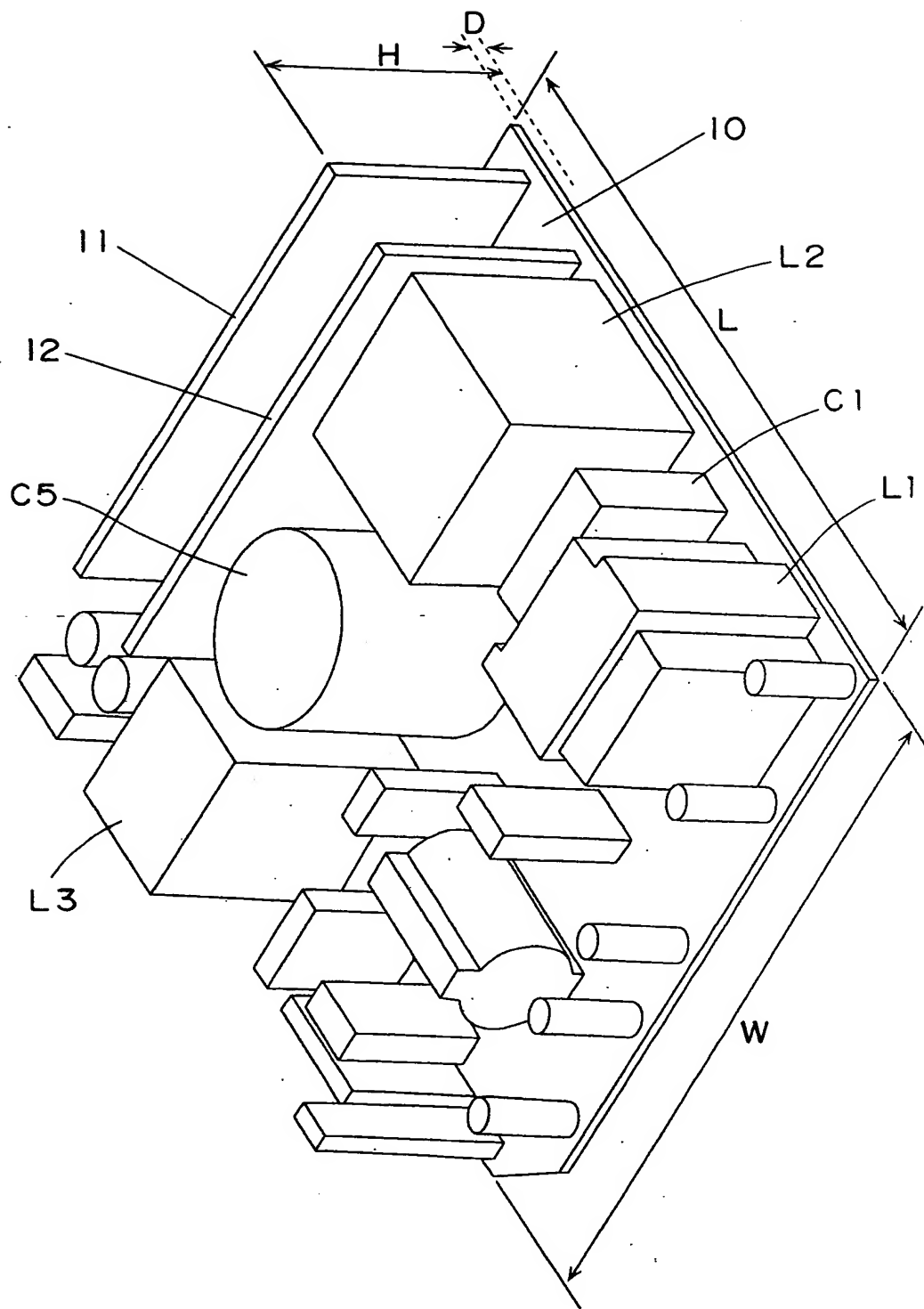


Fig. 19



18/26

Fig.20



19/26

Fig. 21A

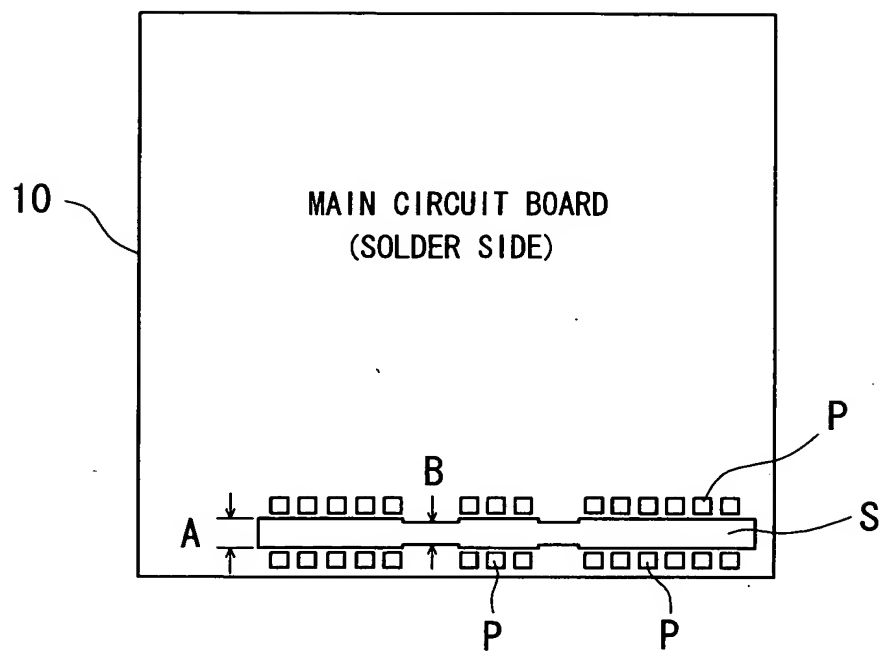


Fig. 21B

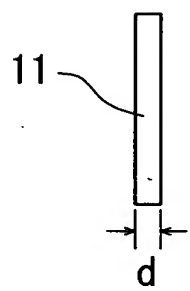
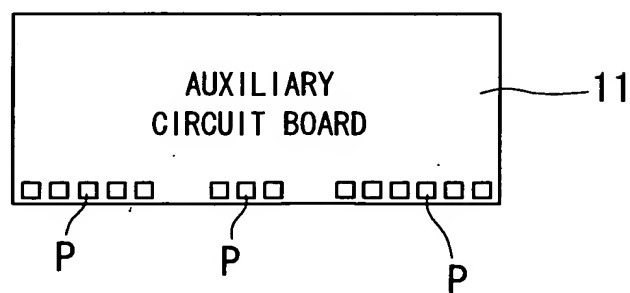


Fig. 21C



20/26

Fig. 22A

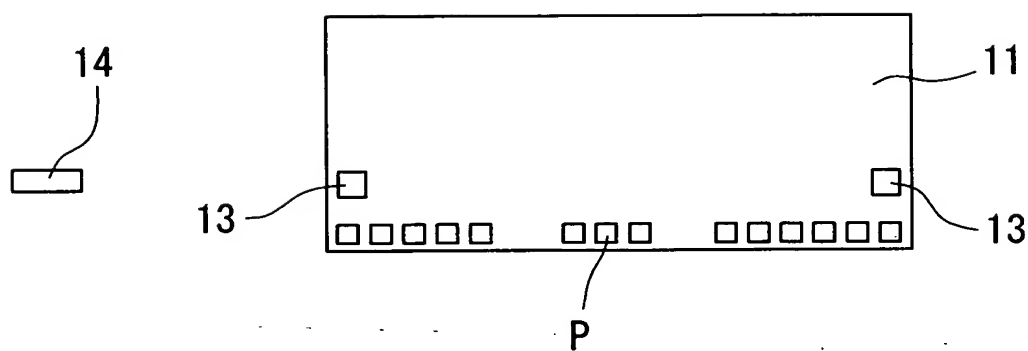
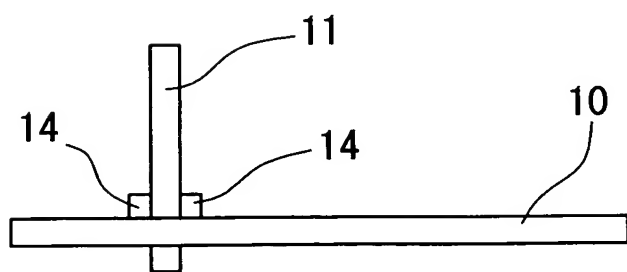


Fig. 22B



21/26

Fig. 23A

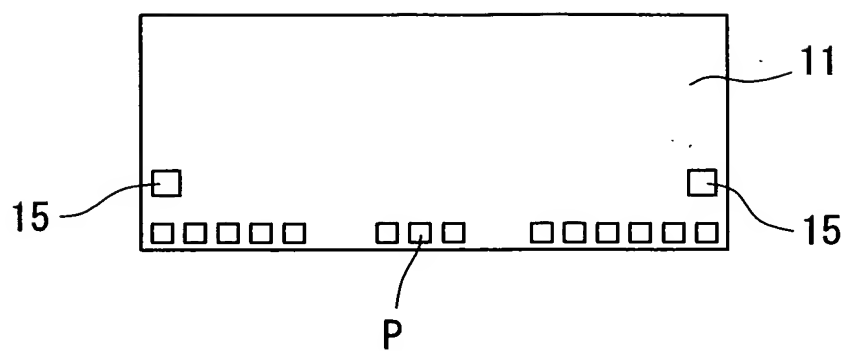
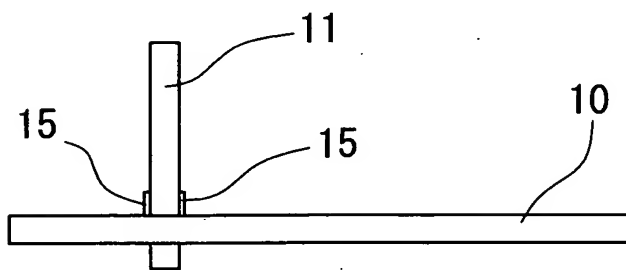


Fig. 23B



22/26

Fig. 24A

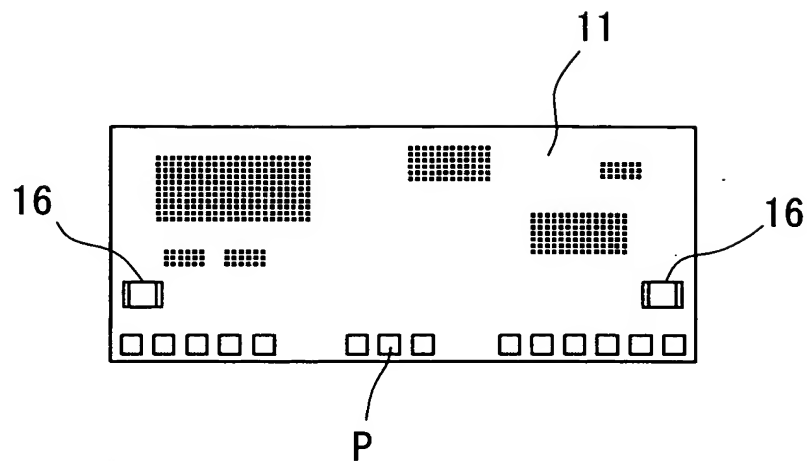


Fig. 24B

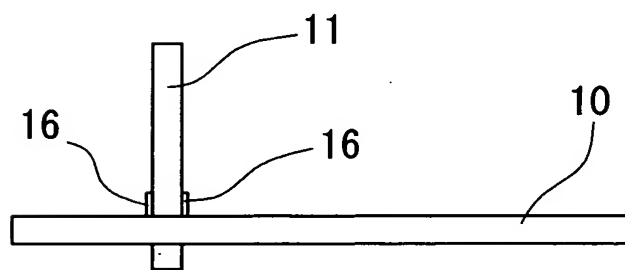


Fig. 25A

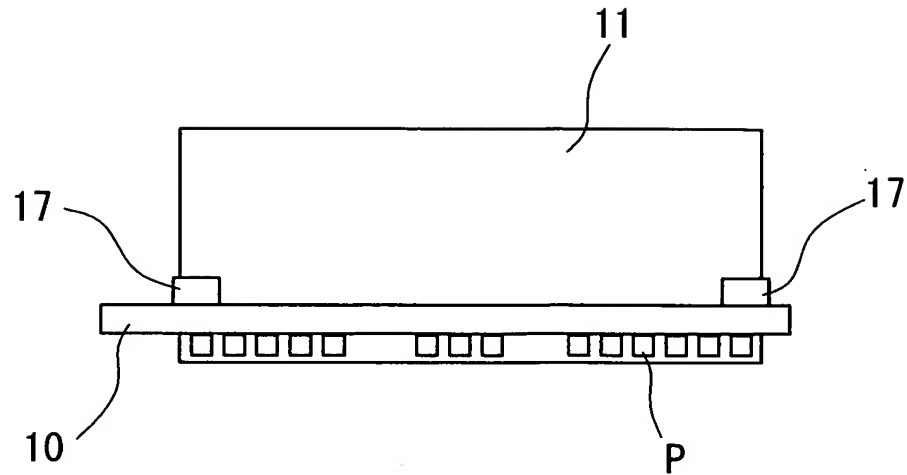


Fig. 25B

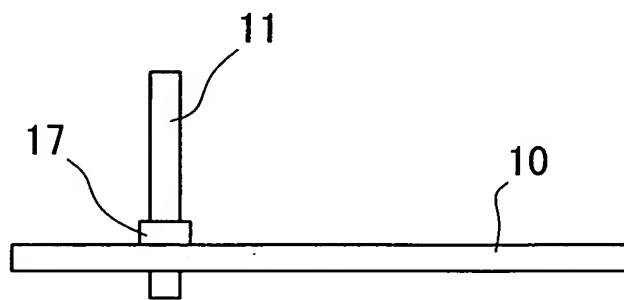
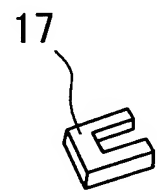


Fig. 25C



24/26

Fig. 26A

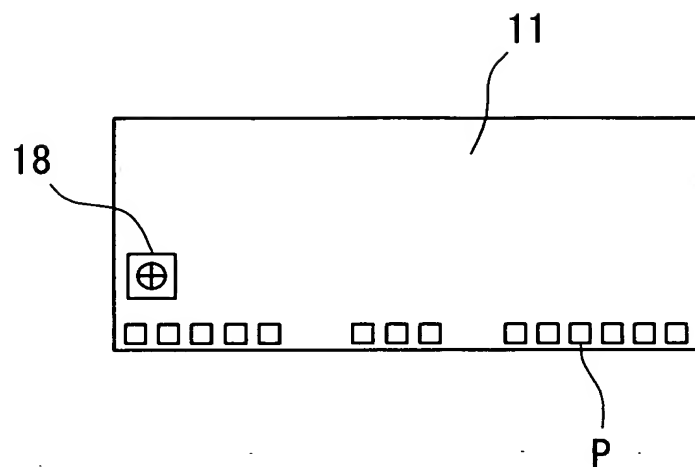


Fig. 26B

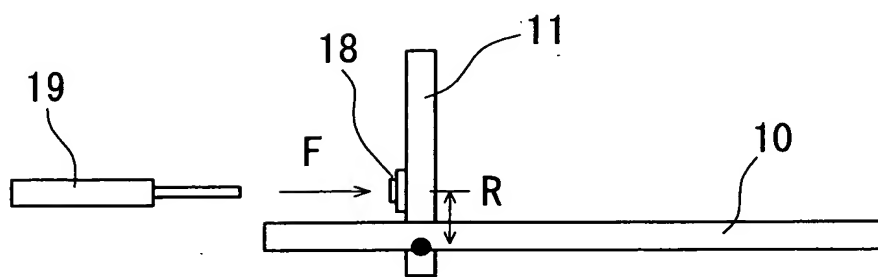


Fig. 27A

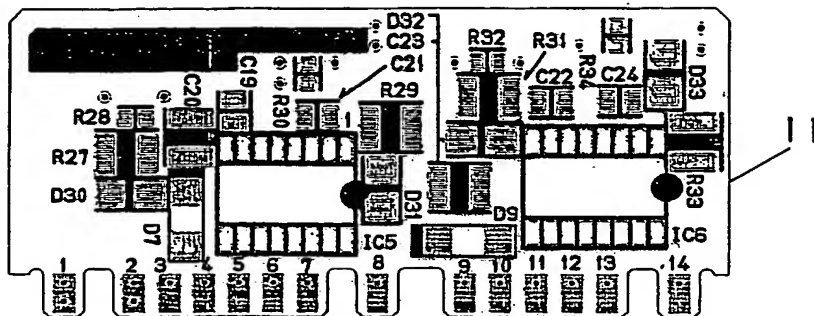


Fig. 27B

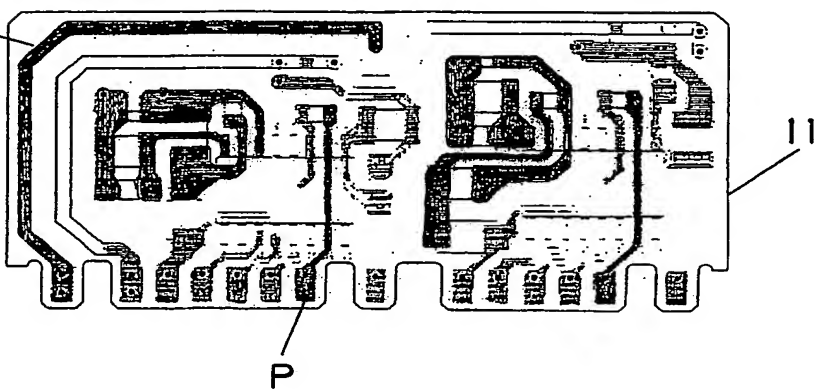


Fig. 27C

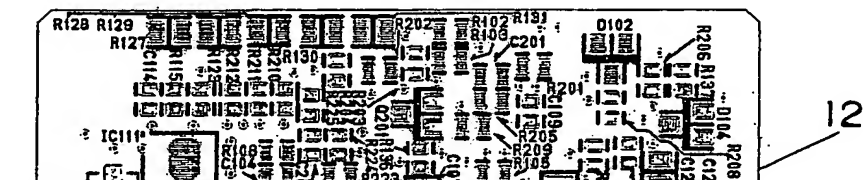


Fig. 27D

